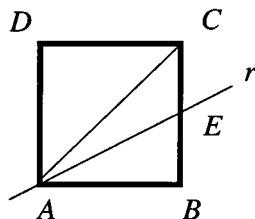


Compito di Meccanica Razionale

Trieste, 19 Febbraio 2009. (G. Tondo)

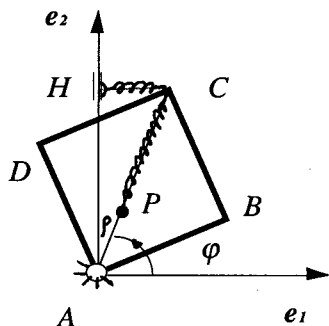


È dato un telaio omogeneo quadrato con i lati di massa m e lunghezza l e la diagonale AC di massa trascurabile.

- 1) Calcolare il momento d'inerzia del telaio rispetto alla retta r passante per il vertice A e per il punto medio E del lato BC .

STATICA.

Si vincoli il telaio in un piano verticale con una cerniera fissa e liscia in A e si ponga un punto materiale P di massa m sulla diagonale AC , libero di scorrervi senza attrito. Le forze attive sono: il peso proprio, le forze di richiamo delle molle applicate in C e di costante elastica c



- 2) Determinare le configurazioni di equilibrio in funzione dei parametri $\mu = \frac{cl\sqrt{2}}{mg}$, $\lambda = \frac{3\mu}{1+\mu^2}$ e discutere la stabilità di una di esse;
- 3) calcolare le reazioni vincolari, esterne sul telaio e interne sul punto P , all'equilibrio.

DINAMICA.

Inoltre si chiede di:

- 4) scrivere le equazioni pure di moto;
- 5) scrivere un integrale primo di moto a partire dalle condizioni iniziali:

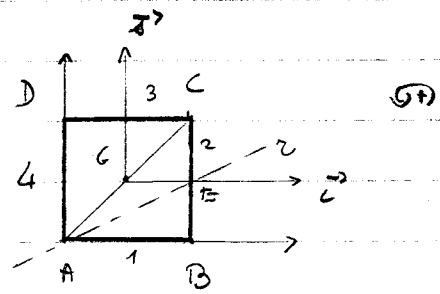
$$\varphi(0) = 0, \quad \dot{\varphi}(0) = 0, \quad \rho(0) = l\sqrt{2}, \quad \dot{\rho}(0) = 0.$$

- 6) calcolare le reazioni vincolari, esterne sul telaio e interne sul punto P , durante il moto.

Compito del 19/02/2009

1

1) Calcolo di I_z .



Calcoliamo la matrice di inerzia

I_G rispetto alla terna $(G, \vec{i}, \vec{j}, \vec{k})$ che è una TPI(G) per ragioni di simmetria materiale.

$$I_G = \begin{bmatrix} \bar{J}_x & 0 & 0 \\ 0 & \bar{J}_y & 0 \\ 0 & 0 & \bar{J}_x + \bar{J}_y \end{bmatrix} \quad \bar{J}_y = \bar{J}_x \Rightarrow \bar{J}_z = 2 \bar{J}_x$$

$$\begin{aligned} \bar{J}_x &= \bar{J}_x^{(1)} + \bar{J}_x^{(2)} + \bar{J}_x^{(3)} + \bar{J}_x^{(4)} = 2(\bar{J}_x^{(1)} + \bar{J}_x^{(2)}) = 2\left(\frac{m l^2}{4} + \frac{1}{12} m l^2\right) \\ &= \frac{2}{3} m l^2 \end{aligned}$$

Dunque:

$$I_G = m l^2 \begin{bmatrix} \frac{2}{3} & 0 & 0 \\ 0 & \frac{2}{3} & 0 \\ 0 & 0 & \frac{4}{3} \end{bmatrix}$$

Per il teorema di Huygens-Steiner:

$$(1) I_A = I_G + 4m \begin{bmatrix} \frac{l^2}{4} & -\frac{l^2}{4} & 0 \\ -\frac{l^2}{4} & \frac{l^2}{4} & 0 \\ 0 & 0 & \frac{l^2}{2} \end{bmatrix} = m l^2 \begin{bmatrix} \frac{5}{3} & -1 & 0 \\ -1 & \frac{5}{3} & 0 \\ 0 & 0 & \frac{10}{3} \end{bmatrix}$$

$$\text{vers}(\vec{x}_E - \vec{x}_A) = \left(l \vec{i} + \frac{l}{2} \vec{j} \right) / \sqrt{5/4} = \frac{2}{\sqrt{5}} \left(\vec{i} + \frac{1}{2} \vec{j} \right)$$

$$I_z = \frac{2}{\sqrt{5}} \begin{bmatrix} 1 & \frac{1}{2} \end{bmatrix} m l^2 \begin{bmatrix} \frac{5}{3} & -1 \\ -1 & \frac{5}{3} \end{bmatrix} \frac{2}{\sqrt{5}} \begin{bmatrix} 1 \\ \frac{1}{2} \end{bmatrix} = \frac{13}{15} m l^2 = \text{vers}(\vec{x}_E - \vec{x}_A) \cdot I_A \cdot \text{vers}(\vec{x}_E - \vec{x}_A)$$

Il modello costituito dal telaio fissato in A e dal punto P scorrevole lungo la diagonale ha 2 g.l., come si può calcolare con il metodo dei congelamenti necessari. Come coordinate libere scegliamo l'angolo φ di figura e la distanza p di P da A. Quindi lo spazio di configurazioni C_v è dato da:

$$(2.1) \quad C_v =]-\pi, \pi] \times]0, l\sqrt{2}[\quad (\text{Escludere le configurazioni di confine } p=0, p=l\sqrt{2}, \text{ trattate a parte})$$

La sollecitazione attiva data dal peso e dalla forza di richiamo delle molle è conservativa. Calcoliamone, quindi, l'energia potenziale $V(\varphi, p)$.

$$(2.2) \quad V(\varphi, p) = \frac{1}{2} c \overline{CP}^2 - m \vec{g} \cdot \vec{x}_p + \frac{1}{2} c \overline{CH}^2 - 4m \vec{g} \cdot \vec{x}_c$$

$$= \frac{1}{2} c (l\sqrt{2} - p)^2 + m g p \sin \varphi + \frac{1}{2} c (l\sqrt{2} \cos \varphi)^2 + 4m \frac{l\sqrt{2}}{2} g \sin \varphi$$

$$= \frac{1}{2} c (l\sqrt{2} - p)^2 + \frac{c}{2} 2l^2 \cos^2 \varphi + m g \sin \varphi (p + 2l\sqrt{2})$$

Determiniamone i punti stazionari

$$(2.3) \quad \frac{\partial V}{\partial \varphi} = -2cl^2 \cos \varphi \sin \varphi + (p + 2l\sqrt{2}) m g \cos \varphi = -Q_\varphi$$

$$(2.4) \quad \frac{\partial V}{\partial p} = -c (l\sqrt{2} - p) + m g \sin \varphi = -Q_p$$

Quindi, le eq. pure di equilibrio sono

$$(2.5) \quad \begin{cases} \cos \varphi (-2cl^2 \sin \varphi + m g (p + 2l\sqrt{2})) = 0 \\ -c (l\sqrt{2} - p) + m g \sin \varphi = 0 \end{cases}$$

Risoliamo il sistema precedente per sostituzione

(3)

$$\begin{cases} p = l\sqrt{2} - \frac{mg}{c} \sin \varphi \\ \cos \varphi \left(-2cl^2 \sin \varphi + mg \left(l\sqrt{2} - \frac{mg}{c} \sin \varphi \right) + 2mgl\sqrt{2} \right) = 0 \end{cases}$$

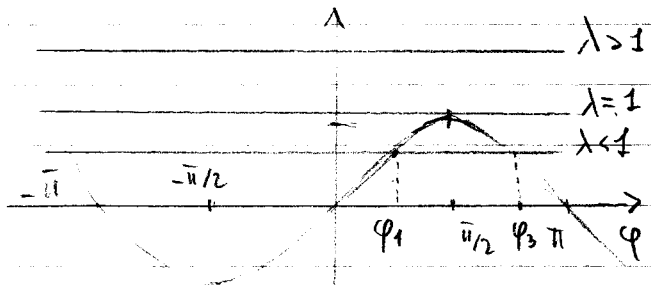
$$(3.1) \begin{cases} p = l\sqrt{2} - \frac{mg}{c} \sin \varphi \\ \cos \varphi \left(3mgl\sqrt{2} - \left(2cl^2 + \frac{m^2 g^2}{c} \right) \sin \varphi \right) = 0 \end{cases}$$

La seconda equazione ha soluzioni

$$(3.2) \cos \varphi = 0 \Leftrightarrow \varphi = \pm \frac{\pi}{2}$$

$$(3.3) \sin \varphi = \frac{3mgl\sqrt{2}}{2cl^2 + \frac{m^2 g^2}{c}} = \lambda$$

Sostituendo nelle prime si hanno le seguenti configurazioni di equilibrio:



$$\vec{q}_e^{(1)} = \left(\varphi_1, l\sqrt{2} - \frac{mg}{c} \lambda \right) \quad \lambda < \frac{c l \sqrt{2}}{m g} \text{ et } \lambda < 1$$

$$\vec{q}_e^{(2)} = \left(\frac{\pi}{2}, l\sqrt{2} - \frac{mg}{c} \right) \quad 1 < \frac{c l \sqrt{2}}{m g} := \mu$$

$$\vec{q}_e^{(3)} = \left(\varphi_3, l\sqrt{2} - \frac{mg}{c} \lambda \right) \quad \lambda < \frac{c l \sqrt{2}}{m g} \text{ et } \lambda < 1$$

$$\varphi_1 = \arcsin \lambda < \frac{\pi}{2}$$

$$\varphi_2 = \frac{\pi}{2}$$

$$\varphi_3 = \pi - \varphi_1$$

N.B. La soluzione della II equazione (3.1), $\varphi = -\frac{\pi}{2}$, fornisce $p = l\sqrt{2} + \frac{mg}{c} > l\sqrt{2} \notin]0, l\sqrt{2}[$, dunque un punto che

non appartiene a C_V . Quindi, per ora, è da scartare ma è da ridiscentere tenendo conto del vincolo unilatero $0 \leq p \leq d$.

N.B. Nel caso di $\vec{q}_e^{(1)}$ e $\vec{q}_e^{(2)}$ devono essere soddisfatte simultaneamente le disuguaglianze

$$(4.1) \left\{ \begin{array}{l} \lambda < 1 \\ \lambda < \frac{cl\sqrt{2}}{mg} := \mu \end{array} \right.$$

Tenendo conto che $\lambda = \frac{3\mu}{1+\mu^2}$ si può concludere che le due disuguaglianze sono entrambe verificate se e solo se

$$(4.2) \quad \mu > \frac{3+\sqrt{5}}{2}$$

In tal caso, quindi, esistono $\vec{q}_e^{(1)}$ e $\vec{q}_e^{(2)}$.

N.B. Il vincolo $0 \leq p \leq l\sqrt{2}$ è un vincolo unilatero.

Quindi, dobbiamo studiare separatamente le configurazioni di confine che corrispondono a $p=0$ e $p=l\sqrt{2}$, in cui il modello ha 1 solo g.l. ma 2 spostamenti virtuali indipendenti (configurazioni libili), dei quali uno è irreversibile:

$$(4.3) \quad \begin{array}{l} \text{se } p=0, \delta\varphi \text{ è arbitrario, } \delta p \geq 0 \\ \text{se } p=l\sqrt{2}, \delta\varphi \text{ è arbitrario, } \delta p \leq 0 \end{array}$$

Calcoliamo il lavoro virtuale per $p=0$ e cerchiamo q_e :

$$(4.4) \quad LV_{p=0} = (Q_\varphi \delta\varphi + Q_p \delta p)|_{p=0} = (2cl^2 \cos\varphi \sin\varphi - 2l\sqrt{2} mg \cos\varphi) \delta\varphi + (cl\sqrt{2} - mg \sin\varphi) \delta p$$

Per il PLV deve essere $LV \leq 0$, che equivale al sistema

$$(4.5) \quad \left\{ \begin{array}{l} Q_\varphi = 0 \\ Q_p \leq 0 \end{array} \right. \quad \text{se } p=0$$

La I delle (4.5) equivale a :

$$(5.1) \quad \cos \varphi = 0 \quad \text{OR} \quad \sin \varphi = \frac{2 \ell \sqrt{2} m g}{\ell c \ell^2}$$

La II delle (4.5) equivale a :

$$(5.2) \quad \sin \varphi \geq \frac{c \ell \sqrt{2}}{m g} = \mu$$

Quindi il sistema (4.5) equivale a

$$(5.3) \quad \begin{cases} \cos \varphi = 0 \\ \sin \varphi \geq \mu \end{cases} \quad \text{OR} \quad \begin{cases} \sin \varphi = \frac{2}{\mu} \\ \sin \varphi \geq \mu \end{cases}$$

Il II sistema (5.3) non ha soluzioni mentre il I sistema ammette l'unica soluzione

$$\varphi = \frac{\pi}{2} \quad \text{se} \quad \mu \leq 1$$

Denque la configurazione di confine

$$\vec{q}_e^{(4)} = \left(\frac{\pi}{2}, 0 \right) \quad \bar{e} \text{ di equilibrio se} \quad \mu \leq 1$$

Osserviamo che, se $\mu = 1$, la II eq. delle (4.5) è verificata

come uguaglianza e quindi $\vec{q}_e^{(4)}$ esisterebbe anche se il vincolo fosse bilatero ($\vec{\pi}_p \cdot \vec{t}_p \in \mathbb{R}$). Invece, se $\mu < 1$ la II eq.

della (4.5) è verificata come disuguaglianza, quindi è essenziale che il vincolo sia unilatero affinché $\vec{q}_e^{(4)}$ sia di equilibrio.

Studiamo ora l'altra configurazione di confine

$$(5.1) \quad p = l\sqrt{2}, \delta\varphi \text{ arbitrario}, \delta p \leq 0$$

Il LV per $p = l\sqrt{2}$ è dato da

$$(5.2) \quad LV|_{p=l\sqrt{2}} = \left(Q_\varphi \delta\varphi + Q_p \delta p \right)|_{p=l\sqrt{2}} = \left(2cl^2 \cos\varphi \sin\varphi - 3l\sqrt{2} mg \cos\varphi \right) \delta\varphi + - mg \sin\varphi \delta p$$

Le configurazioni di equilibrio sono quelle che soddisfano $LV \leq 0$, quindi

$$(5.3) \quad \begin{cases} Q_\varphi = 0 \\ Q_p \geq 0 \end{cases} \Leftrightarrow \begin{cases} (2cl^2 \sin\varphi - 3l\sqrt{2} mg) \cos\varphi = 0 \\ -mg \sin\varphi \geq 0 \end{cases}$$

Il sistema (5.3) equivale a

$$\begin{cases} \cos\varphi = 0 \\ \sin\varphi \leq 0 \end{cases} \quad \text{OR} \quad \begin{cases} \sin\varphi = \frac{3l\sqrt{2} mg}{2cl^2} \\ \sin\varphi \leq 0 \end{cases}$$

Il II sistema non ha soluzioni mentre il I ha l'unica soluzione

$$\varphi_e = -\frac{\pi}{2}$$

Dunque la configurazione di confine:

$$\vec{q}_e^{(5)} = \left(-\frac{\pi}{2}, l\sqrt{2} \right) \text{ è di equilibrio } \forall p$$

e persiste solo in presenza del vincolo unilatero poiché la II eq. della (5.3) è soddisfatta come disuguaglianza.

Stabilità delle configurazioni di equilibrio

17

Il sistema ha 2 g.l., quindi per studiare i punti stazionari dell'energia potenziale $V = V(\rho, \varphi)$ calcoliamo la matrice Hesse. Tenendo conto delle (2.3) e (2.4)

$$\frac{\partial^2 V}{\partial \rho^2} = c, \quad \frac{\partial^2 V}{\partial \varphi \partial \rho} = mg \cos \varphi$$

$$\frac{\partial^2 V}{\partial \varphi^2} = -2cl^2 \cos 2\varphi - (\rho + 2l\sqrt{2}) mg \sin \varphi$$

Risolviamo tali derivate in termini del parametro $\mu = \frac{cl\sqrt{2}}{mg}$.

$$\frac{\partial^2 V}{\partial \rho^2} = \frac{mg}{l\sqrt{2}} \left(\frac{cl\sqrt{2}}{mg} \right) = mg \frac{\mu}{l\sqrt{2}}, \quad \frac{\partial^2 V}{\partial \varphi \partial \rho} = mg \cos \varphi$$

$$\frac{\partial^2 V}{\partial \varphi \partial \rho} = -mg \left[\frac{2cl^2}{mg} \cos 2\varphi + l\sqrt{2} \left(\frac{\rho}{l\sqrt{2}} + 2 \right) \sin \varphi \right] =$$

$$= -mg \left[l\sqrt{2} \mu \cos 2\varphi + l\sqrt{2} \left(\frac{\rho}{l\sqrt{2}} + 2 \right) \sin \varphi \right]$$

$$= -mg l\sqrt{2} \left[\mu \cos 2\varphi + \left(\frac{\rho}{l\sqrt{2}} + 2 \right) \sin \varphi \right]$$

Quindi la matrice Hesse è:

$$H = mg \begin{bmatrix} \frac{\mu}{l\sqrt{2}} & \cos \varphi \\ \cos \varphi & -l\sqrt{2} \left[\mu \cos 2\varphi + \left(\frac{\rho}{l\sqrt{2}} + 2 \right) \sin \varphi \right] \end{bmatrix}$$

$$\frac{H_{11}}{mg} = \frac{\mu}{l\sqrt{2}} > 0 \quad \forall \vec{q}_e$$

Il suo determinante è dato da:

$$\begin{aligned} \det \mathcal{H} &= mg \left(-\frac{\mu}{l\sqrt{2}} l\sqrt{2} \left[\mu \cos 2\varphi + \left(\frac{l}{l\sqrt{2}} + 2 \right) \sin \varphi \right] - \cos^2 \varphi \right) = \\ &= -mg \left[\mu^2 \cos^2 \varphi + \mu \left(\frac{l}{l\sqrt{2}} + 2 \right) \sin \varphi + \cos^2 \varphi \right] = \\ &= -mg \left[(1+2\mu^2) \cos^2 \varphi + \mu \left(\frac{l}{l\sqrt{2}} + 2 \right) \sin \varphi - \mu^2 \right] = \end{aligned}$$

Calcoliamo il det \mathcal{H} in ogni configurazione di equilibrio ordinaria

$$\det \mathcal{H}_{|_{\varphi_e^{(2)}}} = -mg \left[\mu \left(3 - \frac{1}{\mu} \right) - \mu^2 \right] = -mg \left[3\mu - 1 - \mu^2 \right] = mg (\mu^2 - 3\mu + 1)$$

$$\begin{aligned} \det \mathcal{H}_{|_{\varphi_e^{(1)}}} &= -mg \left[(1+2\mu^2)(1-\lambda^2) + \mu \left(1 - \frac{\lambda}{\mu} + 2 \right) \lambda - \mu^2 \right] \\ &= -mg \left[(1+2\mu^2)(1-\lambda^2) + (3\mu - \lambda)\lambda - \mu^2 \right] \\ &= -mg \left(1 - \lambda^2 + 2\mu^2 - 2\lambda^2\mu^2 + 3\lambda\mu - \lambda^2 - \mu^2 \right) \\ &= -mg \left(1 - 2\lambda^2 + \mu^2 - 2\lambda^2\mu^2 + 3\lambda\mu \right) = \\ &= -mg \left(1 + \mu^2 - 2\lambda^2(1+\mu^2) + 3\mu\lambda \right) = \\ &= -mg \left((1+\mu^2) \left(1 - 2 \frac{(3\mu)^2}{(1+\mu^2)^2} \right) + 3\mu \frac{3\mu}{1+\mu^2} \right) = \\ &= -mg \left(1 + \mu^2 - \frac{18\mu^2}{1+\mu^2} + \frac{9\mu^2}{1+\mu^2} \right) = \\ &= -mg \left(1 + \mu^2 - \frac{9\mu^2}{1+\mu^2} \right) = \\ &= -mg \frac{(1+\mu^2)^2 - 9\mu^2}{1+\mu^2} = -mg \frac{(1+\mu^2-3\mu)(1+\mu^2+3\mu)}{1+\mu^2} \end{aligned}$$

Studiamo il segno del det $\mathcal{H}|_{\vec{q}_e^{(2)}}$:

$$\det \mathcal{H}|_{\vec{q}_e^{(2)}} = m g (\mu^2 - 3\mu + 1) > 0 \quad \text{se} \quad \mu < \frac{3-\sqrt{5}}{2} \quad \text{OR} \quad \mu > \frac{3+\sqrt{5}}{2}$$

Quindi, tenendo conto che $\vec{q}_e^{(2)}$ \exists se $\mu > 1$, si ha che

se $1 < \mu < \frac{3+\sqrt{5}}{2}$ $\vec{q}_e^{(2)}$ $\bar{\exists}$ instabile;

se $\frac{3+\sqrt{5}}{2} < \mu$ $\vec{q}_e^{(2)}$ $\bar{\exists}$ stabile.

Studiamo ora il segno del det $\mathcal{H}|_{\vec{q}_e^{(1)}} = \det \mathcal{H}|_{\vec{q}_e^{(3)}}$:

$$\det \mathcal{H}|_{\vec{q}_e^{(1)}} > 0 \Leftrightarrow (\mu^2 - 3\mu + 1)(\mu^2 + 3\mu + 1) < 0.$$

Tenendo conto che ci interessano solo i valori $\mu > 0$ possiamo dire che

$$\det \mathcal{H}|_{\vec{q}_e^{(1)}} > 0 \Leftrightarrow \mu^2 - 3\mu + 1 < 0 \Leftrightarrow \frac{3-\sqrt{5}}{2} < \mu < \frac{3+\sqrt{5}}{2}$$

Quindi, tenuto conto che per le (4.2) $\vec{q}_e^{(1)}$ e $\vec{q}_e^{(3)}$ esistono se $\mu > \frac{3+\sqrt{5}}{2}$, si ha che

$$\det \mathcal{H}|_{\vec{q}_e^{(1)}} < 0$$

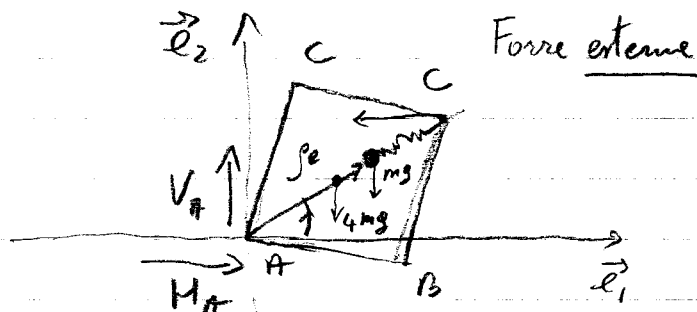
e quindi le configurazioni

$\vec{q}_e^{(1)}$ e $\vec{q}_e^{(3)}$ sono instabili.

Per calcolare le reazioni esterne nel telaio, applichiamo la IECS a tutto il modello.

$$\vec{R}^{ext \rightarrow B} \cdot \vec{e}_1 = 0$$

$$\vec{R}^{ext \rightarrow B} \cdot \vec{e}_2 = 0$$



Quindi le reazioni in A sono date da

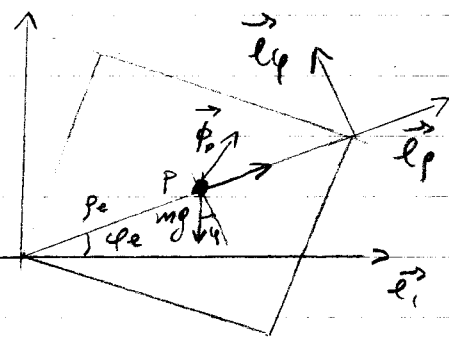
$$(10.1) \begin{cases} H_A - c l \sqrt{2} \cos \varphi_e = 0 \\ V_A - 5 m g = 0 \end{cases} \quad \begin{cases} H_A = c l \sqrt{2} \cos \varphi_e \\ V_A = 5 m g \end{cases}$$

Calcoliamo ora la reazione vincolare nel punto P, cioè la reazione vincolare interna che tiene il punto P sulla diagonale del telaio, senza fare alcuna ipotesi a-priori sulla sua direzione.

Consideriamo la figura sotto e applichiamo al punto P l'equazione della statica del punto.

$$\vec{R}'^P = \vec{0}$$

$$(10.2) \begin{cases} \vec{R}'^P \cdot \vec{e}_1 = 0 \\ \vec{R}'^P \cdot \vec{e}_\varphi = 0 \end{cases} \quad \begin{cases} \phi_P + c(l\sqrt{2} - s_e) - m g \sin \varphi_e = 0 \\ \phi_\varphi - m g \cos \varphi_e = 0 \end{cases}$$



Nelle configurazioni ordinarie in cui valgono le equazioni (2.5) si ottiene che

$$(10.3) \quad \begin{cases} \phi_P = 0 \\ \phi_\varphi = m g \cos \varphi_e \end{cases} \Leftrightarrow \vec{\phi}_P = m g \cos \varphi_e \vec{e}_\varphi$$

Invece, nelle configurazioni di confine il sistema (0.2) diventa rispettivamente:

$$\vec{q}_e^{(4)} = \left(\frac{l}{2}, 0 \right) \quad \mu \leq 1$$

$$\begin{cases} \phi_S = mg - cl\sqrt{2} \\ \phi_\varphi = 0 \end{cases} \Leftrightarrow \vec{\phi}_p = mg(1-\mu)\vec{e}_S$$

$$\vec{q}_e^{(5)} = \left(-\frac{l}{2}, l\sqrt{2} \right)$$

$$\begin{cases} \phi_S = -mg \\ \phi_\varphi = 0 \end{cases} \Leftrightarrow \vec{\phi}_p = -mg\vec{e}_S$$

Riescitoloando, si ha la situazione seguente.

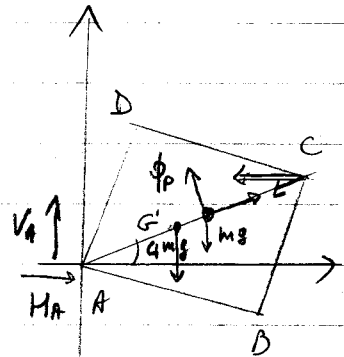
Configurazioni ordinarie

$\vec{q}_e^{(1)} = \left(\varphi_1, l\sqrt{2} \left(1 - \frac{3}{1+\mu^2} \right) \right)$ $\mu > \frac{3+\sqrt{5}}{2}$ instabile

$H_A = cl\sqrt{2} \sqrt{1 - \left(\frac{3\mu}{1+\mu^2} \right)^2}$

$V_A = 5mg$

$\vec{\phi}_P = mg \sqrt{1 - \left(\frac{3\mu}{1+\mu^2} \right)^2} \vec{e}_\varphi$

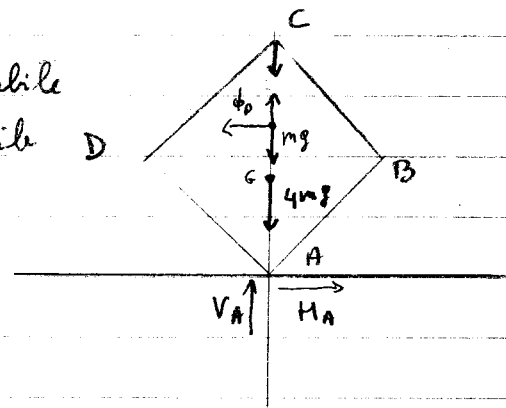


$\vec{q}_e^{(2)} = \left(\frac{\pi}{2}, l\sqrt{2} \left(1 - \frac{1}{\mu} \right) \right)$ $1 < \mu < \frac{3+\sqrt{5}}{2}$ instabile
 $\mu > \frac{3+\sqrt{5}}{2}$ stabile D

$H_A = 0$

$V_A = 5mg$

$\vec{\phi}_P = 0$

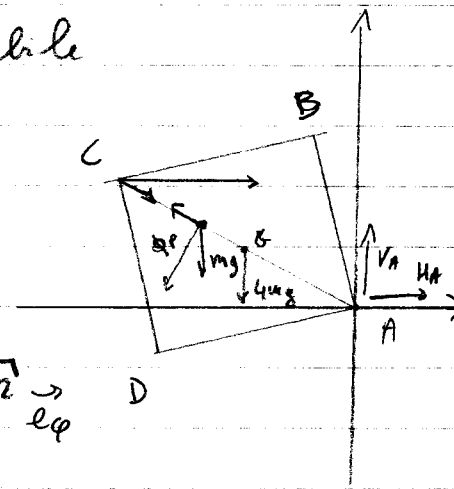


$\vec{q}_e^{(3)} = \left(\varphi_2, l\sqrt{2} \left(1 - \frac{3}{1+\mu^2} \right) \right)$ $\mu > \frac{3+\sqrt{5}}{2}$ instabile

$H_A = -cl\sqrt{2} \sqrt{1 - \left(\frac{3\mu}{1+\mu^2} \right)^2}$

$V_A = 5mg$

$\vec{\phi}_P = -mg \sqrt{1 - \left(\frac{3\mu}{1+\mu^2} \right)^2} \vec{e}_\varphi$ D



Configurazioni di confine

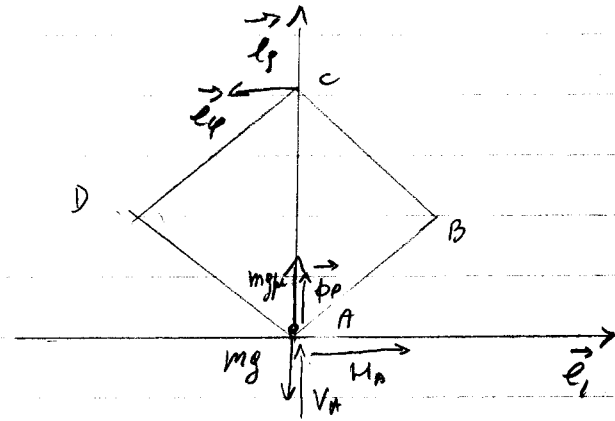
$$\vec{q}_e^{(4)} = \left(\frac{\sqrt{11}}{2}, 0 \right)$$

$$\mu \leq 1$$

$$H_A = 0$$

$$V_A = 5mg$$

$$\vec{\phi}_P = mg(1-\mu)\vec{e}_s$$



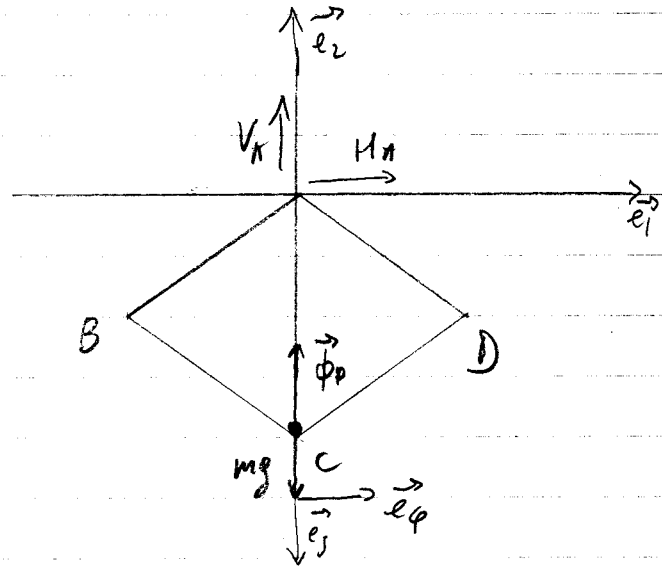
$$\vec{q}_e^{(5)} = \left(-\frac{\sqrt{11}}{2}, l\sqrt{2} \right)$$

$$\forall \mu$$

$$H_A = 0$$

$$V_A = 5mg$$

$$\vec{\phi}_P = -mg\vec{e}_s$$



4) Scriviamo le eq. di Lagrange in forma non conservativa

$$\frac{d}{dt} \left(\frac{\partial K}{\partial \dot{q}_k} \right) - \frac{\partial K}{\partial q_k} = Q_k \quad k=1,2$$

Calcolo dell'energia cinetica K

$$K^{(B)} = K^{(telaino)} + K^{(P)}$$

$$K^{(telaino)} = \frac{1}{2} I_A \dot{\varphi}^2$$

$$I_A^{(1,1)} = \frac{10}{3} m l^2$$

$$K^{(P)} = \frac{1}{2} m v_P^2$$

$$\vec{x}_P = \rho \vec{e}_\rho$$

$$\vec{v}_P = \dot{\vec{x}}_P = \dot{\rho} \vec{e}_\rho + \rho \dot{\vec{e}}_\rho = \dot{\rho} \vec{e}_\rho + \rho \dot{\varphi} \vec{e}_\varphi$$

$$v_P^2 = \dot{\rho}^2 + (\rho \dot{\varphi})^2$$

$$K^{(P)} = \frac{1}{2} m (\dot{\rho}^2 + \rho^2 \dot{\varphi}^2)$$

$$K^{(B)} = \frac{1}{2} (I_A + m \rho^2) \dot{\varphi}^2 + \frac{1}{2} m \dot{\rho}^2 = \frac{1}{2} \left(\frac{10}{3} m l^2 + m \rho^2 \right) \dot{\varphi}^2 + \frac{1}{2} m \dot{\rho}^2$$

I EL

$$\frac{\partial K}{\partial \dot{\varphi}} = \left(\frac{10}{3} m l^2 + m \rho^2 \right) \dot{\varphi} ; \quad \frac{d}{dt} \left(\frac{\partial K}{\partial \dot{\varphi}} \right) = \left(\frac{10}{3} m l^2 + m \rho^2 \right) \ddot{\varphi} + 2 m \rho \dot{\rho} \dot{\varphi}$$

$$\left(\frac{10}{3} m l^2 + m \rho^2 \right) \ddot{\varphi} + 2 m \rho \dot{\rho} \dot{\varphi} \stackrel{(2.3)}{=} \cos \varphi (2 c l^2 \sin \varphi - m g (\rho + 2 l \sqrt{2}))$$

II EL

$$\frac{\partial K}{\partial \dot{\rho}} = m \dot{\rho} ; \quad \frac{d}{dt} \left(\frac{\partial K}{\partial \dot{\rho}} \right) = m \ddot{\rho} ; \quad \frac{\partial K}{\partial \rho} = m \rho \dot{\varphi}^2$$

$$m \left(\ddot{\rho} - \rho \dot{\varphi}^2 \right) \stackrel{(2.4)}{=} c (l\sqrt{2} - \rho) - m g \sin \varphi$$

- 5) Sappiamo già che il sistema è conservativo, i vincoli sono non dissipativi, firmi e bilateri. Quindi l'energia meccanica si conserva. Calcoliamone il valore a partire dai dati iniziali.

$$E = K + V = \frac{1}{2} \left(\frac{10}{3} m l^2 + m \rho^2 \right) \dot{\varphi}^2 + \frac{1}{2} m \dot{\rho}^2 + \frac{1}{2} c (l\sqrt{2} - \rho)^2 + c l^2 \cos^2 \varphi + m g \sin \varphi (\rho + 2 l\sqrt{2})$$

$$E(t=0) = c l^2$$

Quindi, durante il moto vale che:

$$\frac{1}{2} \left(\frac{10}{3} m l^2 + m \rho^2 \right) \dot{\varphi}^2 + \frac{1}{2} m \dot{\rho}^2 + \frac{1}{2} c (l\sqrt{2} - \rho)^2 + c l^2 \cos^2 \varphi + m g \sin \varphi (\rho + 2 l\sqrt{2}) = c l^2$$

g) Reazioni vincolari in dinamica

$$I ECD: \vec{M}^{\rightarrow ext, O} = 4m \ddot{x}_G + m \ddot{x}_P$$

$$\vec{x}_G = \frac{l\sqrt{2}}{2} (\cos\varphi \vec{e}_1 + \sin\varphi \vec{e}_2) ; \quad \vec{x}_P = \rho \vec{e}_\rho = \rho (\cos\varphi \vec{e}_1 + \sin\varphi \vec{e}_2)$$

$$\dot{\vec{x}}_G = \frac{l}{\sqrt{2}} (-\sin\varphi \dot{\varphi} \vec{e}_1 + \cos\varphi \dot{\varphi} \vec{e}_2) ; \quad \dot{\vec{x}}_P = \begin{pmatrix} \dot{\rho} \cos\varphi - \rho \dot{\varphi} \sin\varphi \\ \dot{\rho} \sin\varphi + \rho \dot{\varphi} \cos\varphi \end{pmatrix} \vec{e}_1 + \begin{pmatrix} \dot{\rho} \sin\varphi + \rho \dot{\varphi} \cos\varphi \\ \dot{\rho} \cos\varphi - \rho \dot{\varphi} \sin\varphi \end{pmatrix} \vec{e}_2$$

$$\ddot{\vec{x}}_G = \frac{l}{\sqrt{2}} \left[\begin{aligned} &(-\cos\varphi \dot{\varphi}^2 - \sin\varphi \ddot{\varphi}) \vec{e}_1 + \\ &(-\sin\varphi \dot{\varphi}^2 + \cos\varphi \ddot{\varphi}) \vec{e}_2 \end{aligned} \right] ; \quad \ddot{\vec{x}}_P = \begin{pmatrix} \ddot{\rho} \cos\varphi - 2\dot{\rho}\dot{\varphi} \sin\varphi - \rho \ddot{\varphi} \sin\varphi - \rho \dot{\varphi}^2 \cos\varphi \\ \ddot{\rho} \sin\varphi + 2\dot{\rho}\dot{\varphi} \cos\varphi + \rho \ddot{\varphi} \cos\varphi - \rho \dot{\varphi}^2 \sin\varphi \end{pmatrix} \vec{e}_1 + \begin{pmatrix} \ddot{\rho} \sin\varphi + 2\dot{\rho}\dot{\varphi} \cos\varphi + \rho \ddot{\varphi} \cos\varphi - \rho \dot{\varphi}^2 \sin\varphi \\ \ddot{\rho} \cos\varphi - 2\dot{\rho}\dot{\varphi} \sin\varphi - \rho \ddot{\varphi} \sin\varphi - \rho \dot{\varphi}^2 \cos\varphi \end{pmatrix} \vec{e}_2$$

Quindi:

$$H'_A - c l \sqrt{2} \cos\varphi = 2 l \sqrt{2} m (-\cos\varphi \dot{\varphi}^2 - \sin\varphi \ddot{\varphi}) + m \left[(\ddot{\rho} - \rho \dot{\varphi}^2) \cos\varphi - (2\dot{\rho}\dot{\varphi} + \rho \ddot{\varphi}) \sin\varphi \right]$$

$$V'_A - 5 m g = 2 l \sqrt{2} m (-\sin\varphi \dot{\varphi}^2 + \cos\varphi \ddot{\varphi}) + m \left[(\ddot{\rho} - \rho \dot{\varphi}^2) \sin\varphi + (2\dot{\rho}\dot{\varphi} + \rho \ddot{\varphi}) \cos\varphi \right]$$

cioè:

$$H'_A = \left[c l \sqrt{2} - 2 l \sqrt{2} m \dot{\varphi}^2 + m (\ddot{\rho} - \rho \dot{\varphi}^2) \right] \cos\varphi - m (2 l \sqrt{2} \ddot{\varphi} + 2 \dot{\rho}\dot{\varphi} + \rho \ddot{\varphi}) \sin\varphi$$

$$V'_A = 5 m g + m (2 l \sqrt{2} \ddot{\varphi} + 2 \dot{\rho}\dot{\varphi} + \rho \ddot{\varphi}) \cos\varphi + m (2 l \sqrt{2} \dot{\varphi}^2 + \ddot{\rho} - \rho \dot{\varphi}^2) \sin\varphi$$